

Relatório - Experimento 08 - Parte I

Fausto Emrich Brenner - 17/0009777

I. INTRODUÇÃO

Neste experimento, trabalharemos com a transmissão digital de sinais. Nesta primeira parte, veremos as modulações PCM e DPCM.

II. ATIVIDADES

A. AR01 - PCM

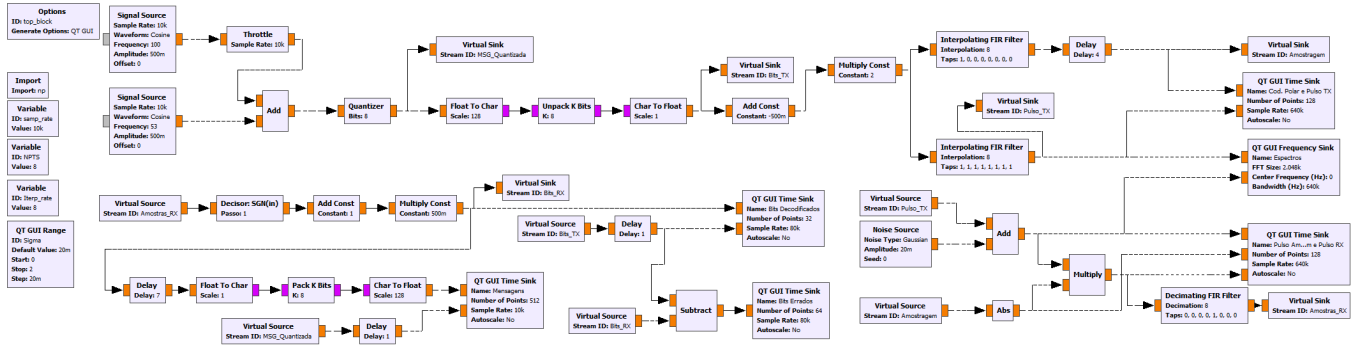


Figura 1: Configuração da AT para a transmissão em PCM [Fig. 1.1]

A transmissão de um sinal em PCM foi construída no GNU Radio conforme os direcionamentos do roteiro. O diagrama de blocos completo está na Figura 1. A partir dessa montagem, diversas configurações diferentes para a codificação e formatação de pulso foram testadas, de forma a preencher a Tabela I com os valores medidos. As formas de onda e o espectro de cada configuração podem ser vistos nas Figuras 3 e 4, respectivamente. Para o preenchimento dos valores teóricos da Tabela I, utilizou-se o cálculo da Transformada de Fourier de cada pulso individual.

$$\text{Retangular NRZ:} \quad p(t) = \text{rect}\left(\frac{t}{T_b}\right) \iff T_b \text{sinc}(\pi f T_b) \quad S_p(f) = T_b^2 \text{sinc}^2(\pi f T_b) \quad (1)$$

$$\text{Retangular RZ:} \quad p(t) = \text{rect}\left(\frac{t}{T_b/2}\right) \iff \frac{T_b}{2} \text{sinc}(\pi f T_b/2) \quad S_p(f) = \frac{T_b^2}{4} \text{sinc}^2(\pi f T_b/2) \quad (2)$$

$$\text{Triangular:} \quad p(t) = \Delta\left(\frac{t}{T_b}\right) \iff \frac{T_b}{2} \text{sinc}^2(\pi f T_b/2) \quad S_p(f) = \frac{T_b^2}{4} \text{sinc}^4(\pi f T_b/2) \quad (3)$$

Ou seja, as raízes da DEP para o caso retangular NRZ acontecem em

$$f = nR_b, \quad n \in \mathbb{N} \quad (4)$$

Enquanto que para os outros dois casos ocorre em

$$f = 2nR_b, \quad n \in \mathbb{N} \quad (5)$$

Como no nosso caso $R_b = n f_{\text{sample}} = 80 \text{ kHz}$, podemos preencher os valores teóricos de B_N na Tabela I.

[A1.a] Como destacado pelas expressões (4) e (5), B_N é múltiplo de R_b .

[A1.b] O pulso de menor B_N foi o Retangular NRZ.

[A1.c] O pulso de menor NLL foi o Retangular RZ.

[A1.d] Escolheria o pulso Retangular NRZ, pois como $B_N < 120 \text{ kHz}$, uma maior porção da potência seria transmitida. Os demais pulsos teriam muita potência eliminada acima de 120 kHz.

Com a amplitude do ruído em 0.1 V e pulsos retangulares NRZ, encontramos o resultado da Figura 5. Vemos que o sistema se comportou bem, sem erros. A mensagem recuperada foi idêntica à enviada.

Agora, alteramos a codificação do pulso para retangular RZ, mas mantendo o *delay* do sincronismo de pulsos em 4. Dessa forma, estamos criando uma falta de sincronia entre a codificação e os pulsos de amostragem. Essa montagem gera como resultado a mensagem recuperada da Figura 6.

[A1.e] A falta de sincronismo gerada pela mudança no *Delay* significa que a amostragem está sendo feita na metade do período da transmissão, no momento em que o pulso retangular RZ retorna a zero. Isso pode ser visto claramente na Figura 7. Em um sistema sem ruído, nossas amostragens seriam todas 0, e não haveria sinal recuperado. Mas como estamos adicionando o ruído AWGN, de fato, é ele que está sendo amostrado. Isso fica evidente pelo histograma dos pulsos amostrados (Fig. 9), que possui o formato de uma distribuição Gaussiana de média zero. Quando a amplitude do ruído é maior que 0, o bit recuperado é 1 e quando a amplitude do ruído é menor que 0, o bit é 0, por conta das propriedades da função *sign*. Por isso vemos uma sequência de bits recebida de valores aleatórios, aparentemente independente da sequência de bits enviada (Fig. 8).

Retornando para a codificação com pulsos retangulares NRZ, verificamos o histograma dos pulsos amostrados para três valores de amplitude de ruído: 0.2, 0.5 e 1.0 volts (Figura 10).

[A1.f] O critério de decisão utilizado no receptor foi a função

$$\text{sign}(x) = \begin{cases} +1, & \text{if } x > 0 \\ 0, & \text{if } x = 0 \\ -1, & \text{if } x < 0 \end{cases} \quad (6)$$

Dessa forma, enquanto o ruído não é grande o suficiente para cruzar alguma das condições acima, não haverá erro. Esse é o caso do ruído de amplitude 0.2 V, cujo histograma [Figura 10 (a)] nos mostra que nenhuma das distribuições gaussianas causadas pelo ruído gerou valores que cruzassem a linha do 0. Porém, os outros valores de σ (0.5 e 1.0) já causam a "cauda" da distribuição a cruzar a linha do 0. Isso que irá gerar os erros, pois um bit que deveria ser 1, por conta do ruído, será recebido no receptor com valor negativo, e será interpretado como 0.

[A1.g] Utilizando o receptor construído neste experimento, como ele leva em consideração apenas o ponto amostrado do pulso recebido, o formato desse pulso não é relevante para a sua recuperação, desde que a sincronia da amostragem seja garantida. A questão do formato do pulso é mais relevante em questões de transmissão, largura de banda etc.

[A1.h] É possível notar que, às vezes, o efeito do ruído é mais severo no sinal recuperado. Isso ocorre pois, dependendo da posição do bit de erro na sequência transmitida o erro pode ser maior ou menor. Por exemplo, vamos supor que estamos transmitindo a seguinte sequência de bits

$$(0 \ 0 \ 1 \ 0 \ 1 \ 1 \ 0 \ 1)|_b = 45$$

Vamos supor agora que a presença de ruído no canal gere um erro no segundo bit **mais significativo**, de forma que a sequência recebida fosse

$$(0 \ 1 \ 1 \ 0 \ 1 \ 1 \ 0 \ 1)|_b = 109$$

Porém, se o mesmo erro ocorresse no segundo bit **menos significativo**, a sequência recebida seria

$$(0 \ 0 \ 1 \ 0 \ 1 \ 1 \ 1 \ 1)|_b = 47$$

Percebe-se que o primeiro caso gerou um erro muito mais significativo que o segundo. Fica claro que o efeito do erro é uma função da significância do bit onde ele ocorreu.

B. AR02 - DPCM

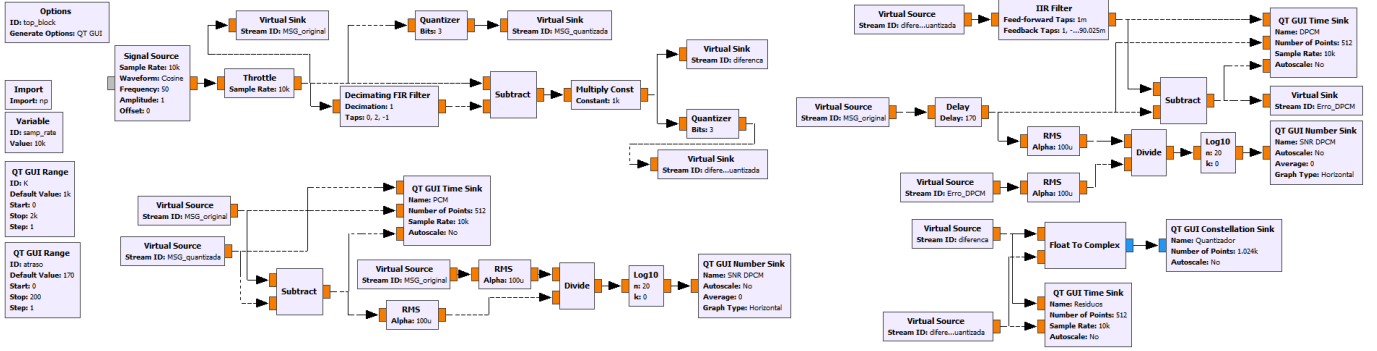


Figura 2: Configuração da AT para transmissão em DPCM [Fig. 2.1]

Com o sistema montado para modulação em DPCM (Figura 2), primeiramente, ajustou-se os valores das variáveis K e $atraso$, de forma a recuperar uma mensagem de mesma amplitude e fase que a original. isso foi feito mantendo $d(t) \in [-1; +1]$ para conservar uma quantização em 3 bits, como pode ser visto pelo *Constellation Sink* da Figura 11. Com isso configurado, mediu-se os valores de RSR para ambas as quantizações de forma a preencher o restante da Tabela II. As formas de onda dos sinais originais, recuperados e os erros associados podem ser vistos na Figura 12.

[A2.a] Comparando as duas RSRs medidas, nota-se claramente que a modulação DPCM obteve melhor desempenho. Isso já era esperado pelo que sabemos do comportamento teórico dessas modulações, que nos diz que o ganho em RSR da modulação DPCM, em comparação com a PCM é, pelo menos,

$$G = \frac{P_m}{P_d} \quad [1] \quad (7)$$

Onde P_m é a potência da mensagem e P_q é a potência de $d(t)$. Como, em geral, $d(t)$ é muito menor que $m(t)$, para o mesmo numero de bits sendo transmitido, a modulação DPCM irá ter melhor desempenho, pois aproveita a relação entre amostras consecutivas de um mesmo sinal para diminuir as redundâncias da informação transmitida.

[A2.b] Para que ambas as modulações obtenham o mesmo desempenho (RSR), é preciso aumentar o número de bits de quantização da PCM. Conseguimos atingir a mesma RSR quanto $n = 7$, ou seja, foram necessários 4 bits a mais que a DPCM. Dessa forma, com nossa taxa de amostragem $f_s = 10$ ksp/s, a DPCM necessita de uma taxa de transmissão de $R_b = 3f_s = 30$ ksp/s, enquanto que a PCM necessitará de uma taxa de transmissão de $R_b = 7f_s = 70$ ksp/s. Uma transmissão em DPCM necessita de uma menor taxa de transmissão e, consequentemente, ocupará uma menor largura de banda.

III. TABELAS

Pulso	B_N [kHz]		NLL [dB]	
	teórico	medido	teórico	medido
(1) Retangular NRZ	80	80,00	13,26	17,69
(2) Retangular RZ	160	160,00	13,26	11,34
(4) Triangular	160	160,00	26,52	22,60
(5) Hanning	—	182,81	—	33,79

Tabela I: Largura de banda e nível de lóbulo vizinho para pulsos polares

RSR_{PCM} [dB]	RSR_{DPCM} [dB]	K	atraso
20,35	45,30	1000	190

Tabela II: Parâmetros e medidas PCM/DPCM

IV. IMAGENS

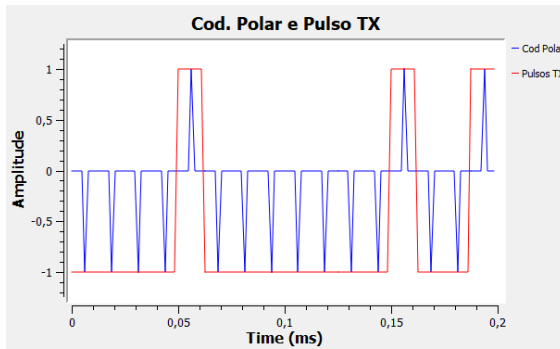
As imagens de oscilografia e espectrais se encontram ao final do documento, em uma página reservada.

V. CONCLUSÃO

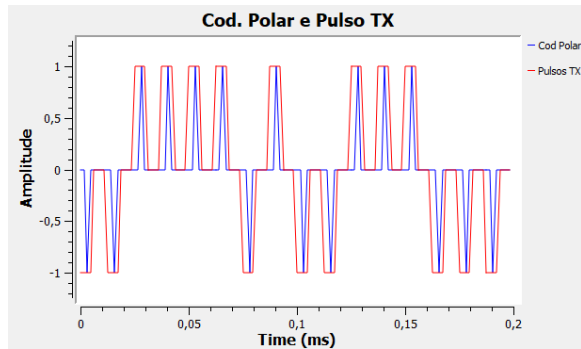
Neste experimento foi possível analisar o princípio da modulação digital, tanto por análises no tempo, quanto na frequência. Foi possível verificar a aplicação da modulação DPCM como meio de diminuir as redundâncias da informação transmitida para atingir melhor RSR e menores taxas de transmissão.

REFERÊNCIAS

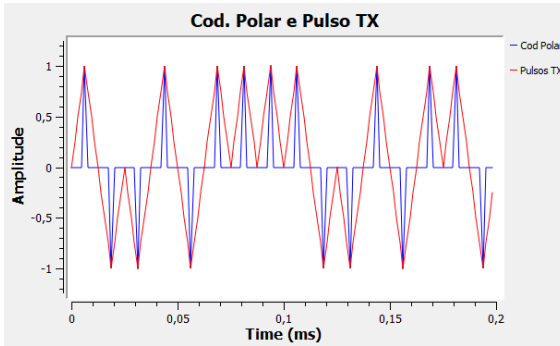
- [1] B. P Lathi and Z. Ding, *Sistemas de Comunicações Analógicos e Digitais Modernos*, 4th ed. Rio de Janeiro: LTC, 2019.



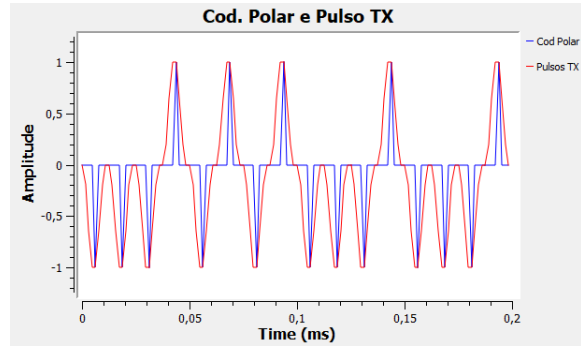
(a) Retangular NRZ



(b) Retangular RZ

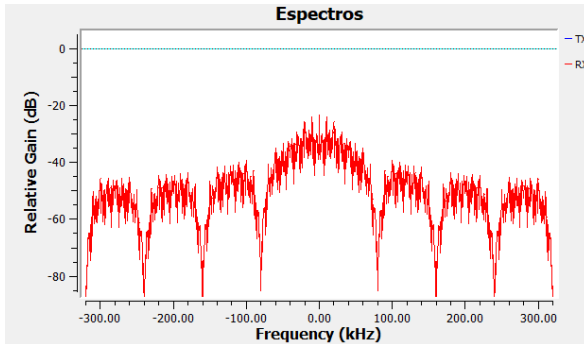


(c) Triangular

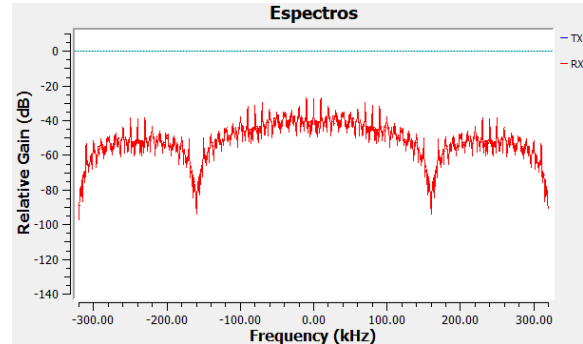


(d) Hanning

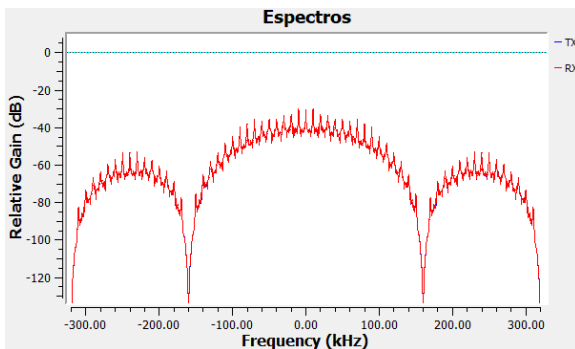
Figura 3: Formas de onda para diferentes configurações do pulso [Fig. 1.2a-d]



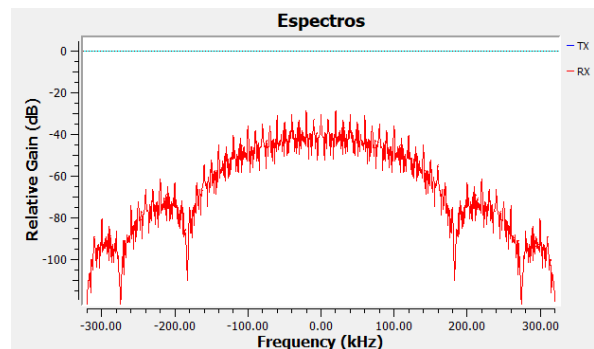
(a) Retangular NRZ



(b) Retangular RZ



(c) Triangular



(d) Hanning

Figura 4: Espectros para diferentes configurações do pulso [Fig. 1.3a-d]

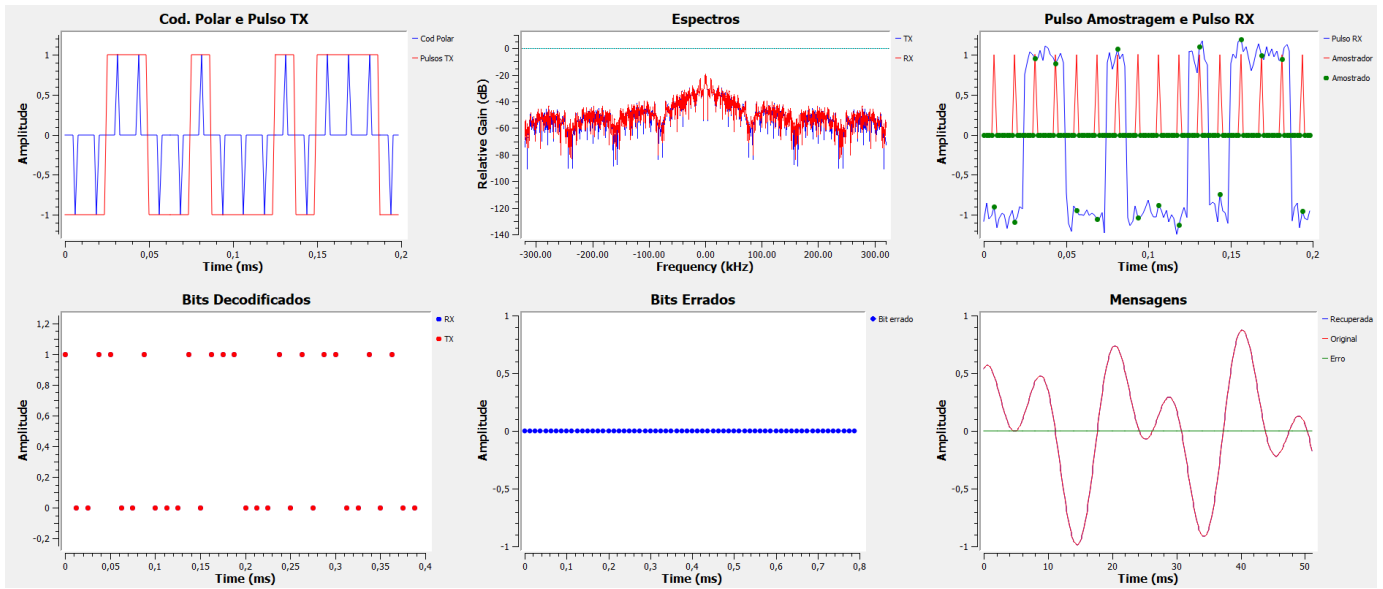


Figura 5: Resultados do sistema para $\sigma = 0.1$ V [Fig. 1.3]

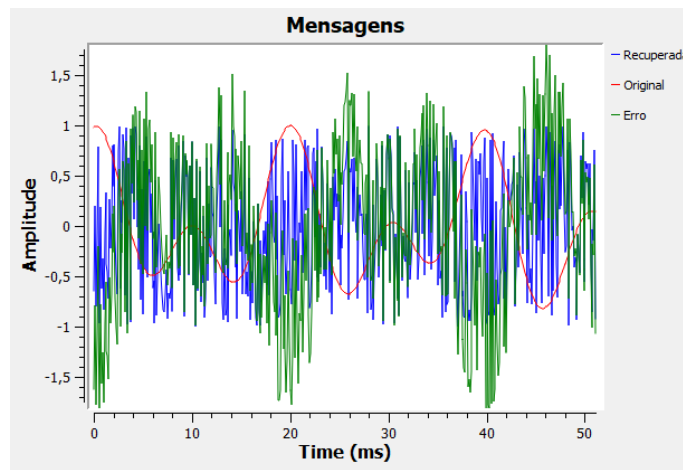


Figura 6: Mensagem decodificada com falta de sincronismo de pulso de amostragem para $\sigma = 0.1$ V

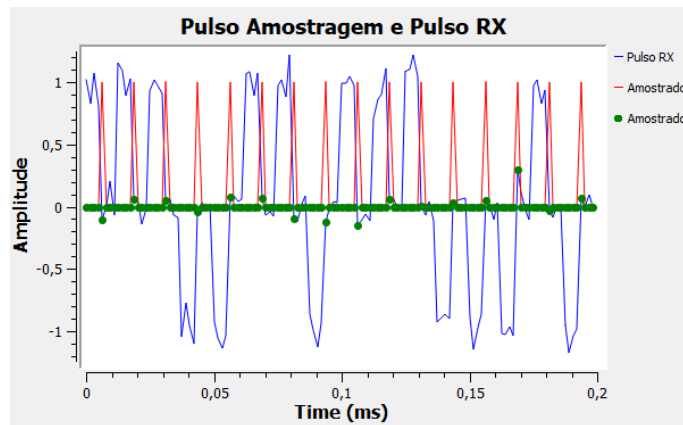


Figura 7: Pulsos contaminados e com falta de sincronismo de amostragem para $\sigma = 0.1$ V [Fig. 1.4a]

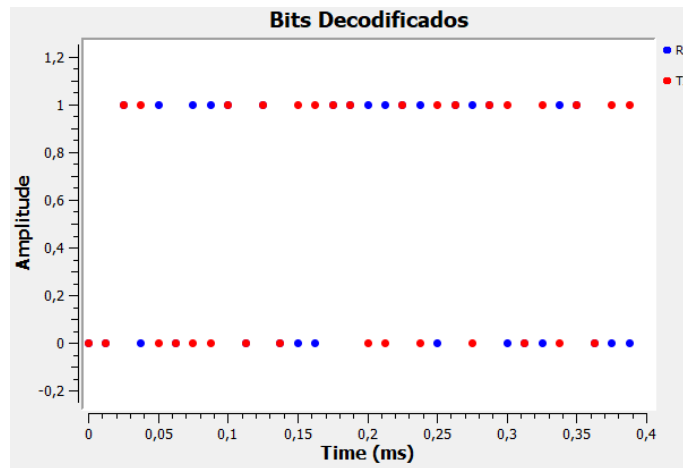


Figura 8: Sequência de bits transmitida e recebida com falta de sincronismo de amostragem para $\sigma = 0.1 \text{ V}$ [Fig. 1.4b]

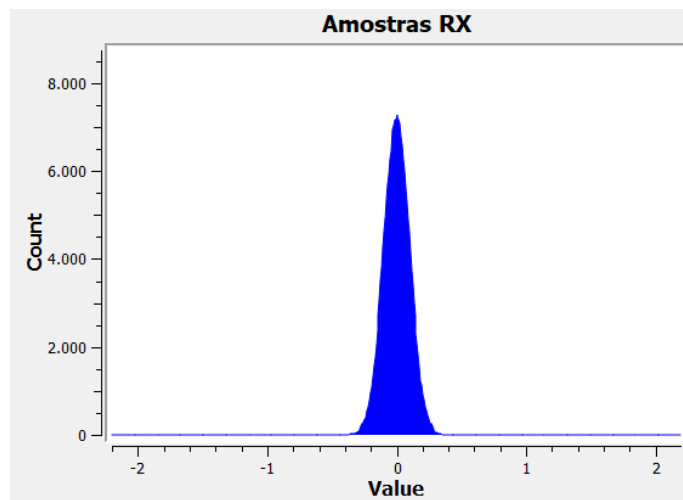
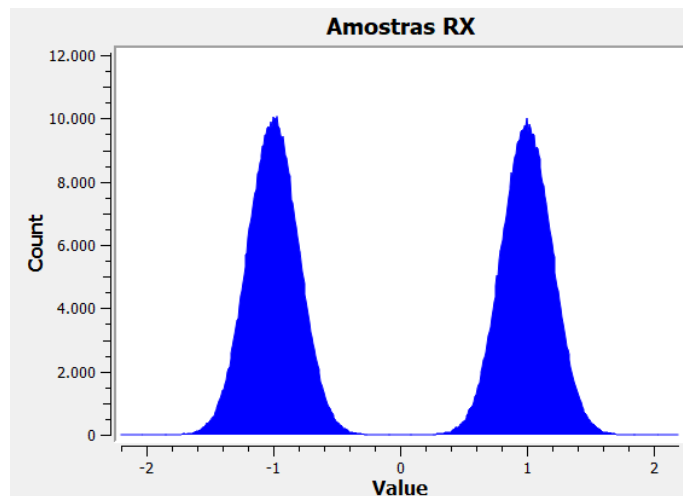
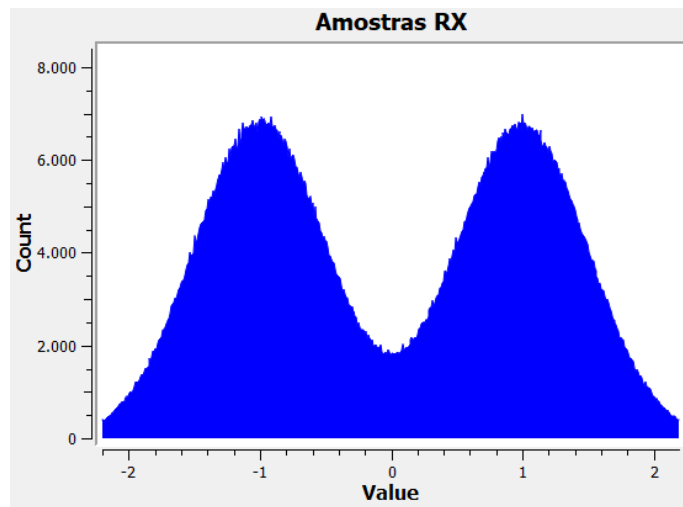


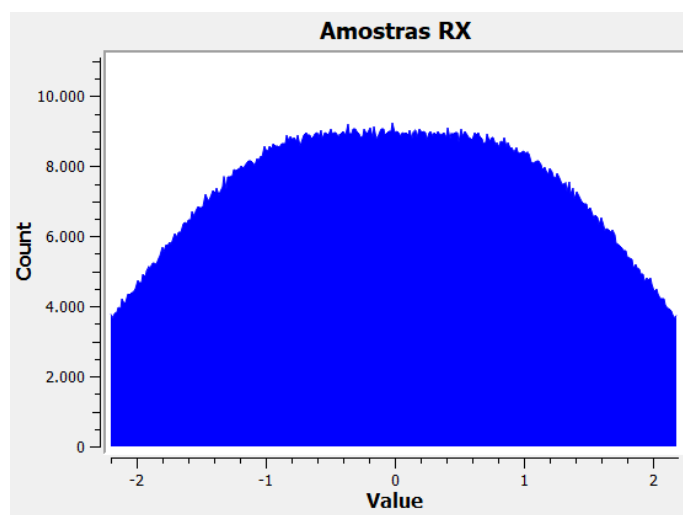
Figura 9: Histograma dos pulsos amostrados com falta de sincronismo de amostragem para $\sigma = 0.1 \text{ V}$ [Fig. 1.4c]



(a) $\sigma = 0.2 \text{ V}$



(b) $\sigma = 0.2 \text{ V}$



(c) $\sigma = 0.2 \text{ V}$

Figura 10: Histogramas das amostras no receptor para diferentes valores de σ [Fig. 1.4a-c]

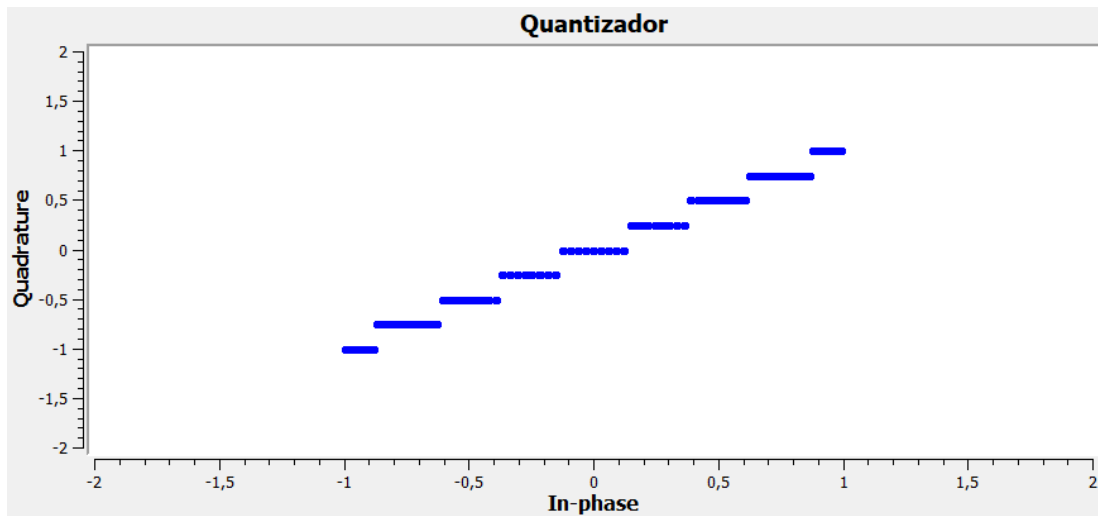
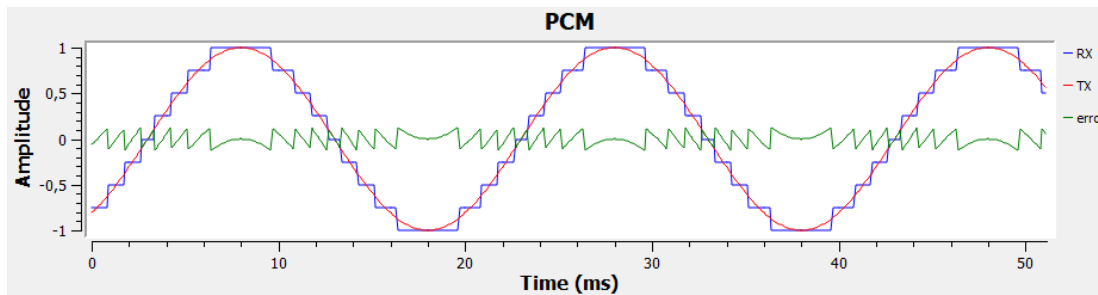
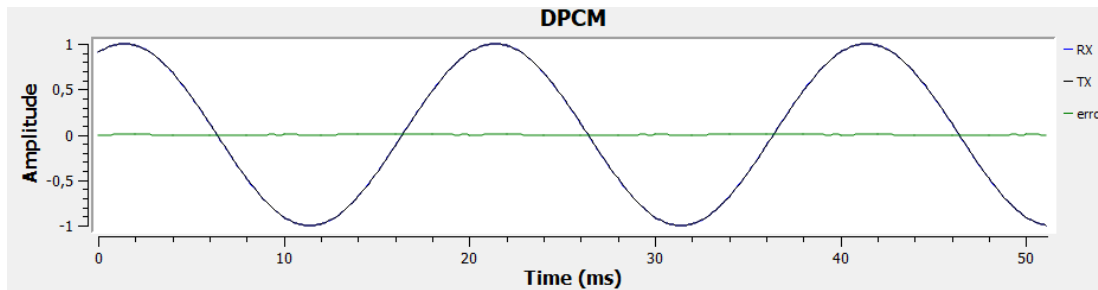


Figura 11: *Constellation Sink* deixando evidente os níveis de quantização de $d[kT_s]$ [Fig. 2.2]



(a) PCM



(b) DPCM

Figura 12: Formas de onda dos sinal originais, recuperados e os erros associados para as modulações [Fig. 2.3]